

**МИНОБРНАУКИ РОССИИ**  
**САНКТ-ПЕТЕРБУРГСКИЙ ГОСУДАРСТВЕННЫЙ**  
**ЭЛЕКТРОТЕХНИЧЕСКИЙ УНИВЕРСИТЕТ**  
**«ЛЭТИ» ИМ. В.И. УЛЬЯНОВА (ЛЕНИНА)**  
**Кафедра АПУ**

**ОТЧЕТ**  
**по лабораторной работе №4**  
**по дисциплине «Теория автоматического управления. Часть 2.**  
**Нелинейные системы»**  
**Тема: Метод фазового пространства**

Студент гр. 2392

\_\_\_\_\_

Жук Ф.П.

Преподаватель

\_\_\_\_\_

Имаев Д.Х.

Санкт-Петербург

2025

### Цель работы.

Изучить поведение различных динамических систем (математического маятника, нелинейной системы управления, осциллятора Ван дер Поля и аттрактора Лоренца) с помощью анализа их фазовых портретов.

### Обработка результатов эксперимента.

В ходе работы, была рассмотрена математическая модель маятника без трения, описываемая системой дифференциальных уравнений.

$$\begin{aligned}\frac{d\theta}{dt} &= \omega; \\ \frac{d\omega}{dt} &= -c \sin(\theta).\end{aligned}$$

Также была написанная функция drawPhasePortrait (рис. 1).

```
def drawPhasePortrait(  
    args,  
    deltaX = 1,  
    deltaDX = 1,  
    startX = 0,  
    stopX = 5,  
    startDX = 0,  
    stopDX = 5,  
    ts = 10,  
    nt = 101  
):  
    for y0 in range(startX, stopX, deltaX):  
        for dy0 in range(startDX, stopDX, deltaDX):  
            sol = calcODE(args, y0, dy0, ts, nt)  
            plt.plot(sol[:, 0], sol[:, 1], 'b')  
    plt.xlabel('x')  
    plt.ylabel('dx/dt')  
    plt.grid()  
    plt.show()
```

Рис. 1 - Функция drawPhasePortrait

Аргументы функции:

- args — параметры ОДУ (см. шаг 1),
- deltaX — шаг начальных условий по горизонтальной оси (переменной состояния),

- $\Delta x$  — шаг начальных условий по вертикальной оси (производной переменной состояния),
- $x_{start}$  — начальное значение интервала начальных условий,
- $x_{stop}$  — конечное значение интервала начальных условий,
- $\Delta x_{start}$  — начальное значение интервала начальных условий,
- $\Delta x_{stop}$  — конечное значение интервала начальных условий,
- $t_{stop}$  — длительность решения,
- $n_{steps}$  — число шагов в решении (= время интегрирования \* шаг времени).

Далее были получены следующие фазовые портреты с разными параметрами времени, рисунок 2 — параметры по умолчанию, рисунок 3 — изменённые параметры времени и увеличенным числом точек.

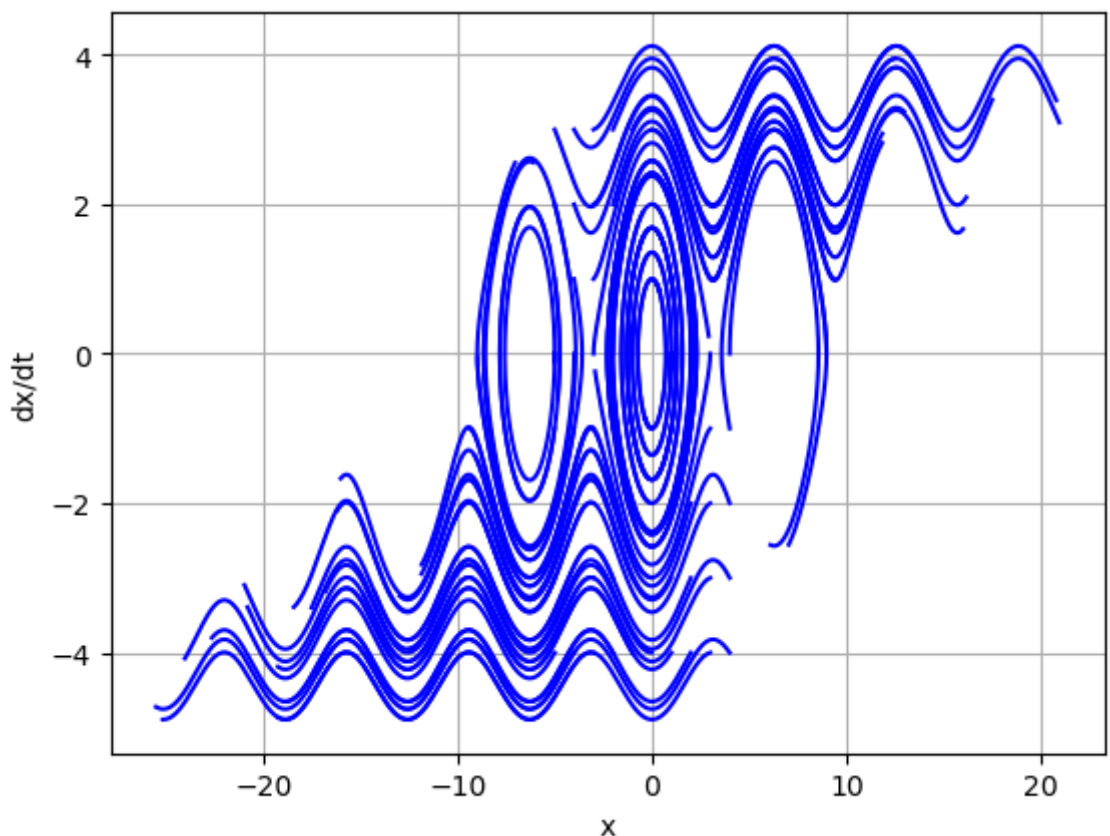


Рис. 2 - Фазовый портрет математического маятника

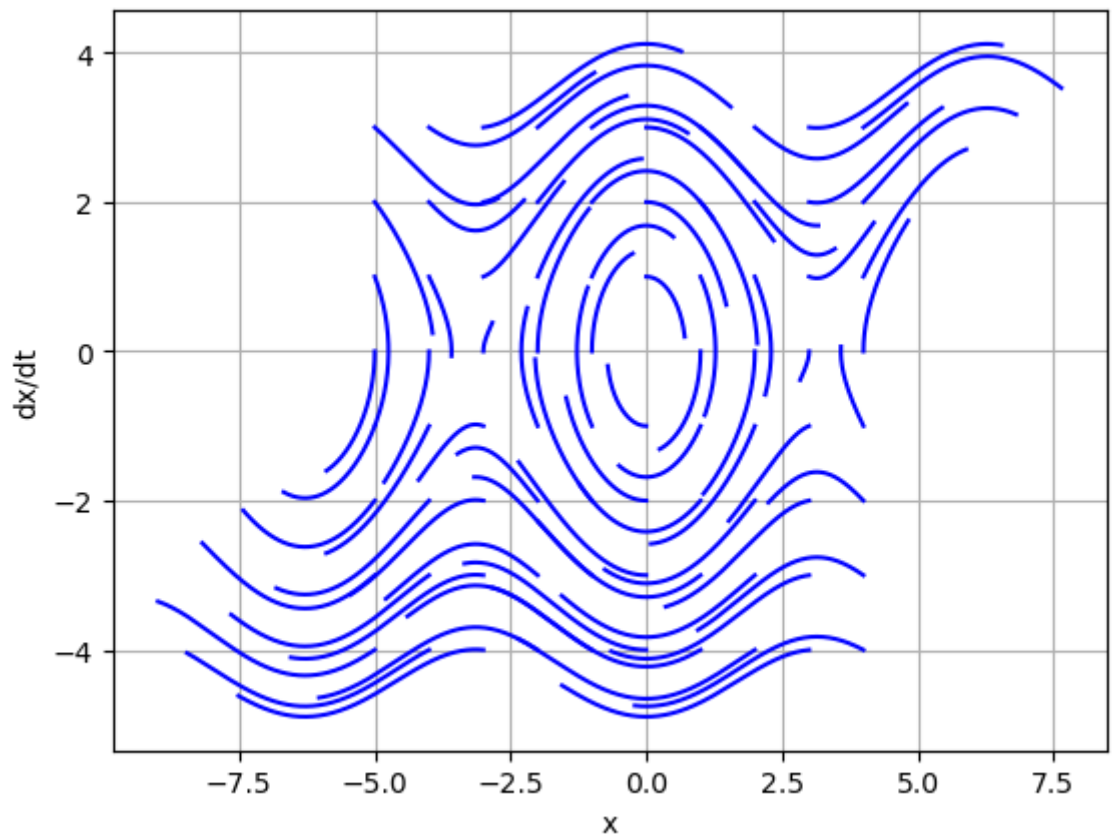


Рис. 3 - Фазовый портрет математического маятника

Далее был получен фазовый портрет систем математического маятника с учетом вязкого трения. Рассматриваемая математическая модель маятника с учетом вязкого трения, описываемая системой дифференциальных уравнений.

$$\begin{aligned}\frac{d\theta}{dt} &= \omega; \\ \frac{d\omega}{dt} &= -b\omega - mgl \sin(\theta),\end{aligned}$$

, где  $m = 0.2 * Nvar$ ,  $l = 5 / Nvar$ ,  $b = 0.1 + 0.015 * Nvar$ ,  $Nvar = 8$ .

На полученном фазовом портрете (рис. 4) прослеживаются ключевые особенности системы с трением: все траектории постепенно закручиваются по спирали к устойчивым положениям равновесия (в нижнем положении). Особые точки (типа “седло”) являются неустойчивыми, но теперь траектории (в их окрестности) демонстрируют себя иначе, не образуют замкнутых петель, а отклоняются от этих точек.

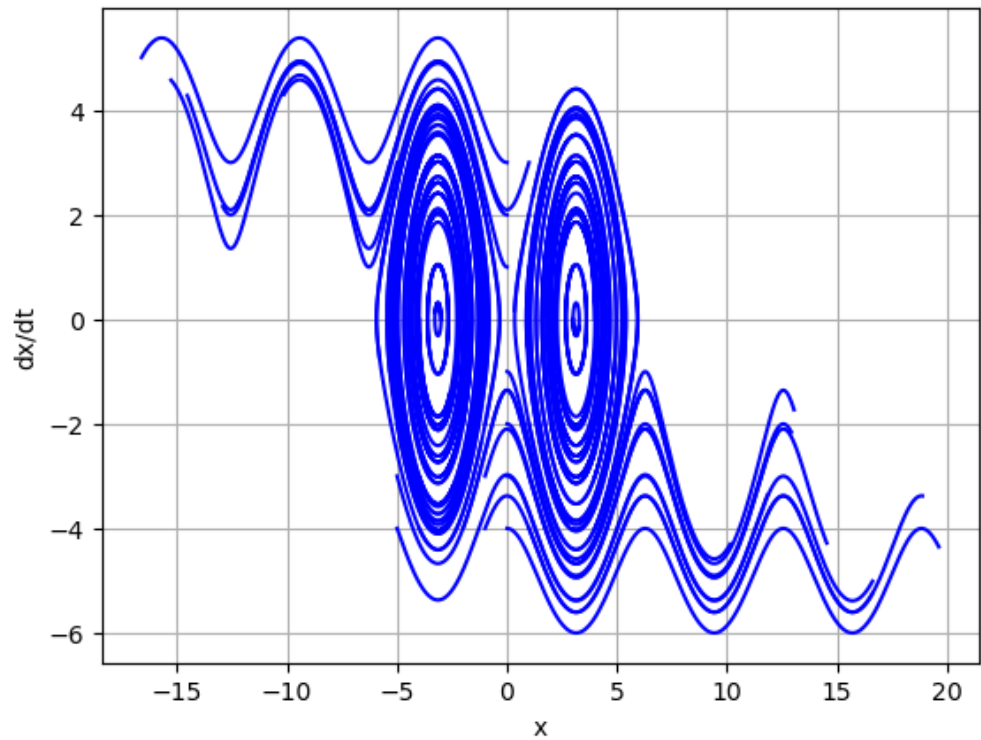


Рис. 4 - Фазовый портрет маятника с трением

Трение кординально изменяет поведение системы. В данном примере все траектории стремятся к точкам тавновесия вместо, бесконечных колебаний по замкнутым орбитам.

Далее была рассмотренна нелинейная модель структурная схема системы которой изображенна на рисунке 5.

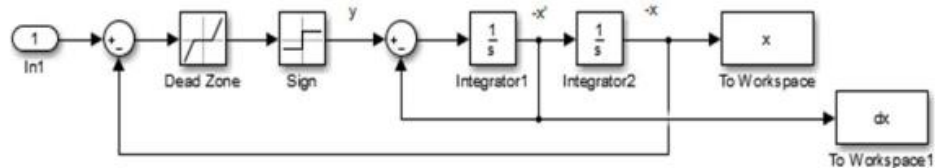


Рис.5 - Структурная схема системы

имеющая уравнение вида:

$$\begin{cases} \frac{dx}{dt} = v \\ \frac{dv}{dt} = \begin{cases} 1 - v, & \text{если } u - x > b \\ -1 - v, & \text{если } u - x < -b \\ -v, & \text{если } |u - x| \leq b \end{cases} \end{cases}$$

, где  $b = 0.2 * Nvar + 0.2$ ,  $Nvar = 8$ .

Фазовый портрет нелинейной системы представлени на рисунке 6.

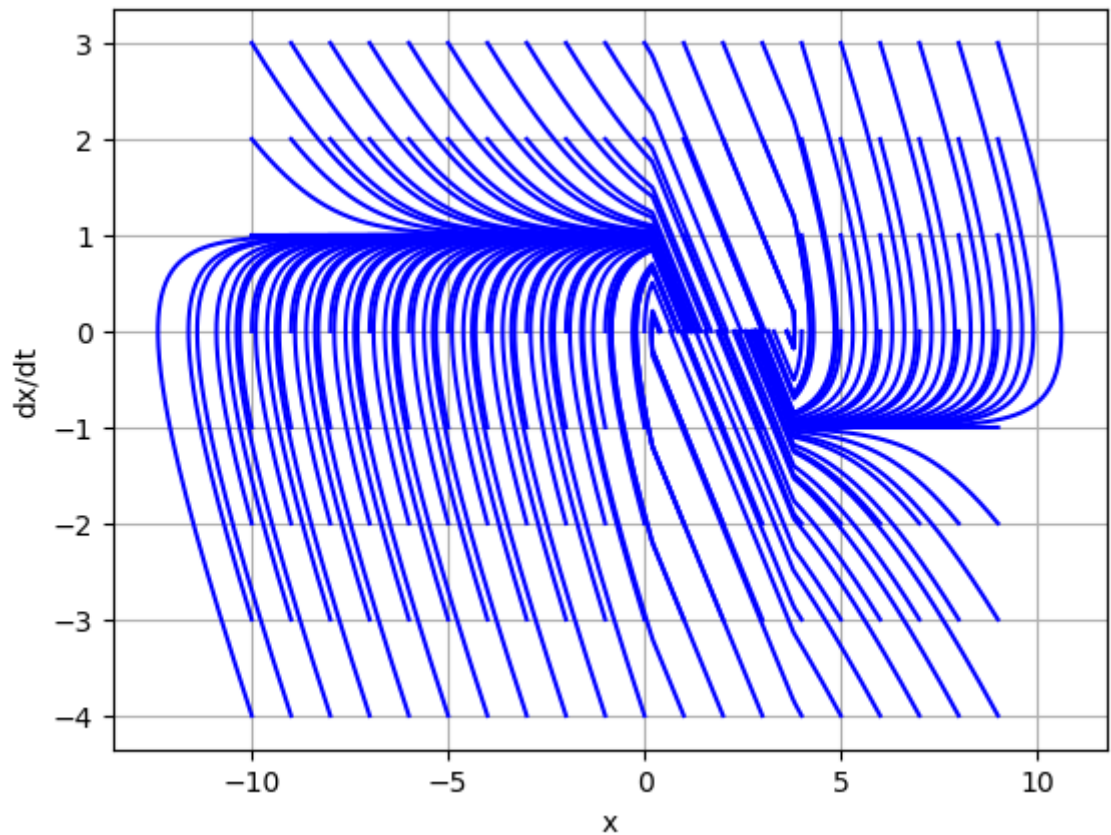


Рис. 6 - Фазовый портрет системы заданной схемой

Фазовый портрет этой системы демонстрирует три различных режима поведения:

1. При  $u - x > b$  - система стремится к установившемуся режиму с постоянной скоростью  $v = 1$ .
2. При  $u - x < -b$  - система асимптотически приближается к скорости  $v = -1$ .
3. При  $|u - x| \leq b$  - система замедляется до полной остановки.

Если  $x > 0$  сильно отличается от заданного значения  $u$ , система стремиться к значению  $+1$  или  $-1$ . Если же  $x$  находится близко к  $u$ , система плавно стремиться к  $0$ .

Далее было рассмотрено уравнение генератора колебаний (осциллятора) предложены голландским инженером и физиком Бальтазаром ван дер Полем. Оно имеет уравнение.

$$\begin{cases} \frac{dx}{dt} = y; \\ \frac{dy}{dt} = \mu(1 - x^2)y - x. \end{cases}$$

Были проанализированны фазовый портрет с коэффициентами  $\mu$  равными: 8, 4, 16, они предствленны на рисунках 7, 8, 9 сообведственно.

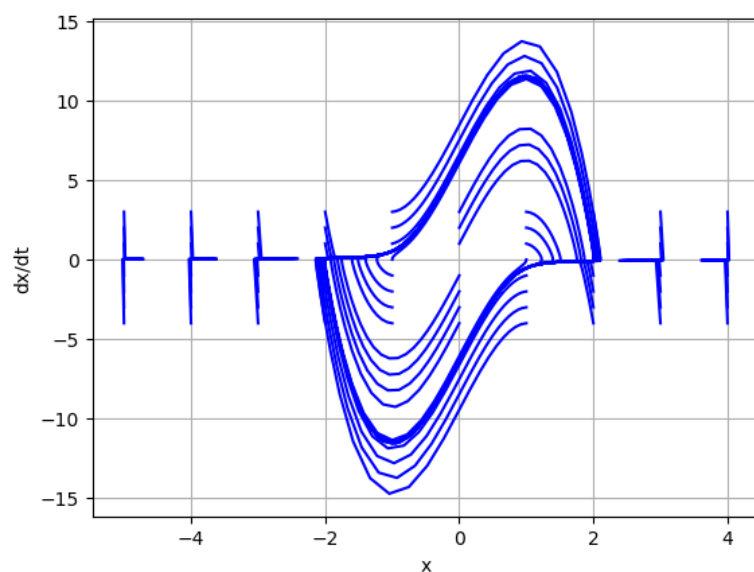


Рисунок 7 - Фазовый портрет при  $\mu = 8$

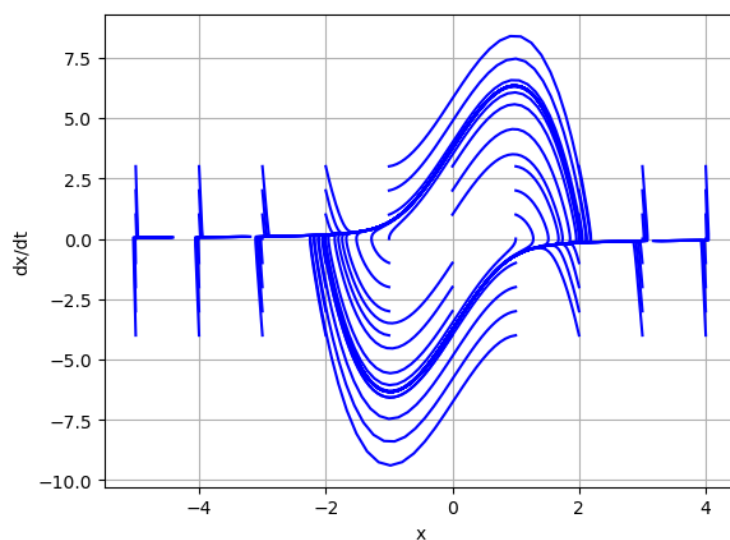


Рисунок 8 - Фазовый портрет при  $\mu = 4$

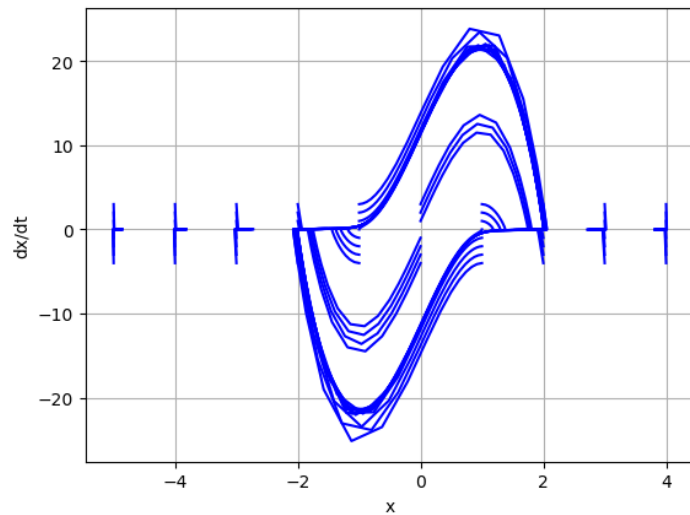


Рисунок 9 - Фазовый портрет при  $\mu=16$

При анализе изображений можно заметить, что с увеличением  $\mu$  – цикл становится более вытянутым, колебания – более резкими и в итоге получаются релаксационные колебания с резкими скачками. При любом  $\mu$  система всегда выходит на устойчивые колебания.

Далее был построен фазовый портрет аттрактора Лоренца (рис. 10) имеющий уравнение вида:

$$\begin{cases} x' = \sigma(y - x); \\ y' = x(r - z) - y; \\ z' = xy - bz \end{cases}$$

,где  $\sigma=10$ ,  $r=28$ ,  $b=8/3$  и начальных условий  $x(0)=1$ ,  $y(0)=0$ ,  $z(0)=0$ .

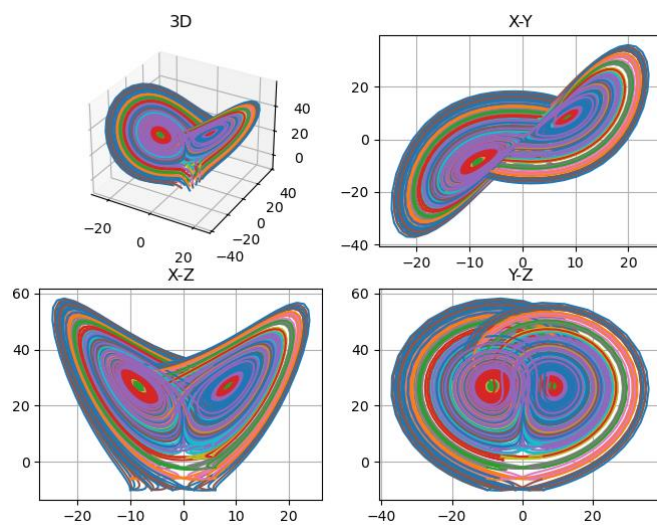


Рис. 10 - Фазовый портрет аттрактора Лоренца  $\sigma=10$ ,  $r=28$ ,  $b=8/3$



Далее исследовано влияние параметра  $r$  на поведение системы, при использовании только одного начального условия.

При уменьшении  $r$  до 8 (рис. 11) траектория быстро стремится к неподвижной точке, что соответствует нехаотическому поведению.

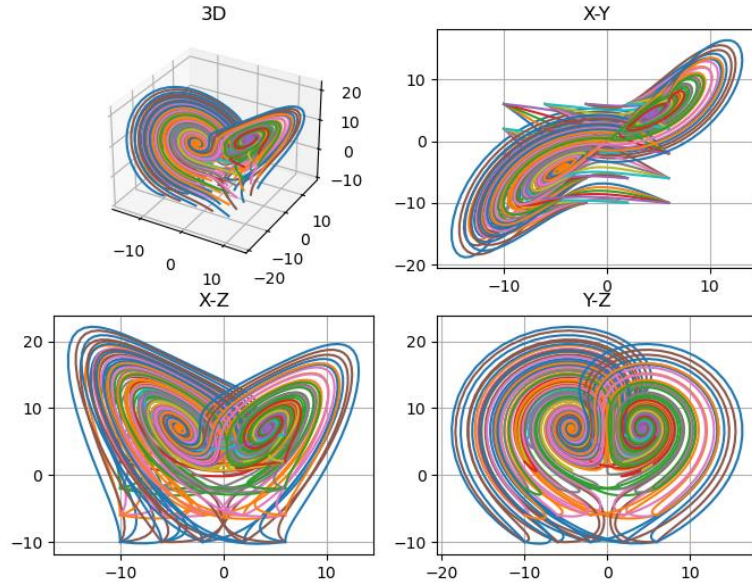


Рис. 11 - Фазовый портрет аттрактора Лоренца  $\sigma=10$ ,  $r=8$ ,  $b=8/3$

При увеличении  $r$  до 100 (рис. 12) наблюдается усиление хаотичности, увеличивается амплитуда колебаний, но сохраняет свою структуру. Траектория делает более резкие повороты и охватывает большую область фазового пространства.

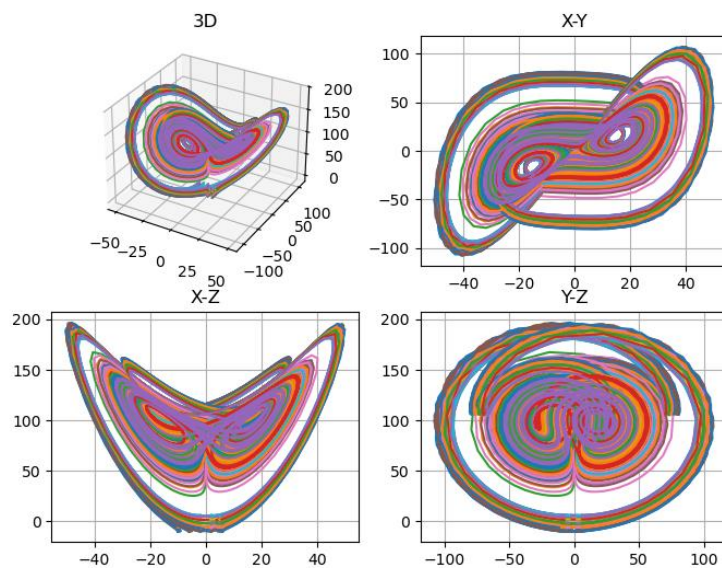


Рис. 12 - Фазовый портрет аттрактора Лоренца  $\sigma=10$ ,  $r=100$ ,  $b=8/3$

## **Выводы.**

В рамках исследования был выполнен анализ фазовых портретов четырех динамических систем: математического маятника, нелинейной управляющей системы, осциллятора Ван дер Поля и аттрактора Лоренца. Для математического маятника установлены два ключевых типа поведения: в идеализированных условиях наблюдаются устойчивые периодические колебания, тогда как при введении трения все траектории асимптотически приближаются к положению равновесия. Нелинейная система управления проявила три дифференцированных сценария функционирования, определяемых степенью отклонения от целевого состояния. В случае осциллятора Ван дер Поля зафиксирована эволюция динамики: от плавных гармонических колебаний при малых параметрах к релаксационным циклам с выраженными скачкообразными переходами при их росте. Изучение аттрактора Лоренца выявило бифуркацию режимов — система способна демонстрировать как упорядоченную периодичность, так и детерминированный хаос, сохраняя при этом структурную устойчивость. Экспериментальные данные по всем исследуемым системам показали полную корреляцию с теоретическими моделями, подтвердив адекватность примененных методов анализа.